

УДК 534.2

О МЕХАНИЗМЕ СВЕРХГЛУБОКОГО ПРОНИКАНИЯ ЧАСТИЦ В МЕТАЛЛИЧЕСКУЮ ПРЕГРАДУ

С. П. Киселев, В. П. Киселев

Институт теоретической и прикладной механики СО РАН, 630090 Новосибирск

Предложена физико-математическая модель явления сверхглубокого проникания, учитывающая прочностные свойства преграды. На основе данной модели впервые численно решена задача о сверхглубоком проникании вольфрамовых частиц в стальную преграду.

Явление сверхглубокого проникания микрочастиц в металлические преграды обнаружено в начале 80-х гг. [1] и подробно исследовано в экспериментальных работах, краткий обзор которых дан, например, в [2]. Существует несколько различных гипотез о механизме данного явления [2–7], однако последовательное описание до сих пор отсутствует, что делает актуальным построение его полной математической модели.

Явление сверхглубокого проникания частиц в преграду заключается в следующем. Пусть имеется металлическая преграда, на которую с большой скоростью налетает поток частиц. Тогда при некоторых условиях малая доля частиц (примерно 0,1 %) проникает на очень большую глубину порядка сотен и тысяч диаметров частиц. (В обычных условиях глубина проникания не превышает десяти диаметров частиц.) Сверхглубокое проникание наблюдается для частиц, диаметр которых $d \leq 100$ мкм, прочность частиц должна превышать прочность преграды, скорость частиц $v_p \geq 10^3$ м/с, их средняя плотность в налетающем потоке $\rho_2 \geq 10^3$ кг/м³.

Обычно в экспериментах использовались частицы вольфрама, а в качестве материала преграды выбиралась сталь. Анализ стальной преграды после воздействия потока частиц показал [8], что каналы за частицами, проникшими на большие глубины $l \sim 10^3 d$, оказались полностью схлопнувшимися. В работе [8] отмечено, что в окрестности оси каждого схлопнувшегося канала можно выделить три качественно различающихся области. В первой области $r < 0,15d$ материал полностью утратил свою кристаллическую структуру и перемешан с материалом частиц (r — расстояние от оси канала). Во второй области $0,15d \leq r \leq (0,5 \div 1,0)d$ материал преграды испытал интенсивную пластическую деформацию. В третьей области $r \geq (0,5 \div 1,0)d$ наблюдается слабая пластическая деформация материала. В данной работе предложена физико-математическая модель, отражающая указанную структуру деформирования материала.

В работах [2–4] предполагалось, что течение материала преграды можно описать в рамках модели идеальной жидкости. В этом случае для безотрывного обтекания справедлив парадокс Даламбера и сила, действующая на частицу со стороны материала, равна нулю. Глубина проникания равна произведению скорости частицы на время t^* существования давления p в преграде, под действием которого происходит схлопывание канала за частицей. Поскольку давление создается при торможении частиц в приповерхностном слое, то t^* равно времени действия потока частиц на преграду. Критерий реализации данного режима получен из условия возникновения догоняющей и толкающей частицу струи, образующейся при схлопывании канала, и имеет вид $p > \rho_s v_p^2 \operatorname{tg}^2 \alpha_*/2$, где ρ_s — плотность материала преграды; $\alpha_* \approx 20^\circ$ — критический угол схождения струй, при котором возникает догоняющая частицу струя.

Следует заметить, что моделирование материала преграды идеальной несжимаемой жидкостью является грубым и противоречит описанной выше структуре канала за частицей [8]. Покажем, что разупрочнение материала и его моделирование жидкостью возможно только в окрестности частицы на расстояниях, не превышающих диаметра частицы. В остальной области деформации малы и материал деформируется упругопластическим образом. Вблизи частицы скорости деформации велики: $\dot{\epsilon}_0 \sim v_p/d \sim 10^7 \div 10^8 \text{ с}^{-1}$, и тепло не успевает отводиться от плоскостей скольжения, что и приводит к разупрочнению материала [9]. Обозначая среднее расстояние между плоскостями локализации деформации через Δ , условие разупрочнения запишем в виде неравенства $\Delta^2/\alpha > d/v_p$, где Δ^2/α — время релаксации температуры вследствие теплопроводности; α — коэффициент температуропроводности. Величина Δ должна быть порядка расстояния между плоскостями скольжения 0,1–1,0 мкм. Подставляя в данное неравенство значения $\Delta \simeq 1,4 \text{ мкм}$, $\alpha = 2 \cdot 10^{-5} \text{ м}^2/\text{с}$, $v_p \simeq 10^3 \text{ м/с}$, получим ограничение на диаметр частицы $d \leq \Delta^2 v_p / \alpha \approx 100 \text{ мкм}$, что согласуется с аналогичной оценкой в [2, 3].

Предполагая, что поле скоростей в окрестности частицы описывается решением уравнения для идеальной жидкости, в сферической системе координат будем иметь $v_r = v_p(1 - (a/r)^3) \cos \theta$, $v_\theta = -v_p(1 + (1/2)(a/r)^3) \sin \theta$ [10], где θ — угол между радиус-вектором и вектором скорости частицы. Используя эти формулы, получим, что скорость деформации $\dot{\epsilon} \sim \partial v_\theta / \partial r$ убывает с увеличением радиуса r по степенному закону $\dot{\epsilon}/\dot{\epsilon}_0 = (a/r)^4$, где $a = d/2$ — радиус частицы; $\dot{\epsilon}_0 \sim v_p/d$ — скорость деформации на поверхности частицы. Из данной формулы следует, что при $r = 3a$ скорость деформации $\dot{\epsilon} = \dot{\epsilon}_0 \cdot 10^{-2} \sim 10^5 \div 10^6 \text{ с}^{-1}$. При этой скорости деформации разупрочнения уже не происходит, и материал сохраняет прочностные свойства [11]. Таким образом, радиус зоны разупрочнения $r \approx 3a$ имеет порядок радиуса области сильной деформации, наблюдавшейся в каналах за частицами [8]. Это позволяет предположить, что в процессе внедрения частицы разупрочнение материала происходит в области интенсивной деформации $r \leq 3a$, а в области слабой деформации $r \geq 3a$ материал сохраняет прочностные свойства. Несмотря на то что механические свойства разупрочненного материала подобны свойствам жидкости, расплавления материала при этом не происходит. Разупрочнение материала, в отличие от плавления, требует малых энергетических затрат. Например, чтобы расплавить сталь в цилиндре диаметром $0,3d$ и длиной 10^3d , требуется энергия $E \approx 0,5 \text{ Дж}$, что на два порядка больше кинетической энергии вольфрамовой частицы, имеющей скорость $v_p = 10^3 \text{ м/с}$, плотность $\rho_p = 2 \cdot 10^4 \text{ кг/м}^3$ и диаметр $d = 100 \text{ мкм}$. Поэтому вблизи оси канала $r < 0,15d$ происходит разупрочнение, а не расплавление материала. Нарушение его кристаллической структуры, по-видимому, связано со значительной деформацией, которая возникает за счет вязких напряжений и согласно [12] сопровождается большими локальными поворотами.

Получим критерий сверхглубокого проникания с учетом прочностных свойств материала преграды. Для этого рассмотрим твердую сферическую частицу диаметром d , движущуюся в материале преграды вдоль оси x , в случае, когда материал в окрестности частицы разупрочнен. Пусть в момент времени t частица имеет скорость v_p и координату x_p . За время $\Delta t \approx d/v_p$ частица сместится в точку $x'_p = x_p + d$. Тогда в точке x_p возникнет сферическая полость (пора) радиуса $a = d/2$, которая под действием давления p будет заполняться материалом преграды. Если за время Δt пора успевает затекать, то имеет место режим безотрывного обтекания частицы. Это приведет к резкому уменьшению силы сопротивления и сверхглубокому прониканию частицы. Построить аналитическое решение, описывающее течение вязкоупругопластического материала в окрестности частицы, не представляется возможным.

Для того чтобы найти время затекания поры τ , рассмотрим следующую модельную задачу. Пусть имеется сферическая ячейка радиуса b , в центре которой находится пора

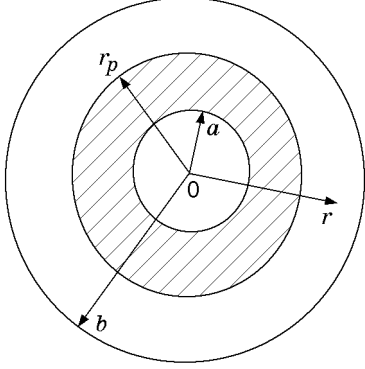


Рис. 1

полученную выше оценку для скорости деформации $\dot{\epsilon} \sim (v_p/d)(a/r)^4$, оценим напряжения, возникающие в точке, удаленной от центра частицы на расстояние r :

$$S_{ij} \sim 2\mu\dot{\epsilon}\Delta t \sim 2\mu\frac{v_p}{d}\left(\frac{a}{r}\right)^4\frac{d}{v_p} \sim 2\mu\left(\frac{a}{r}\right)^4,$$

где $\Delta t = d/v_p$ — характерное время деформирования; S_{ij}, e_{ij} — девиаторы тензоров напряжения и деформаций; μ — модуль сдвига. На границе, разделяющей упругую и пластическую области, напряжение достигает предела текучести $S_{ij} \approx Y$. Подставляя это значение в формулу для S_{ij} , с учетом $Y = 1$ ГПа, $\mu = 80$ ГПа для стали получим оценку радиуса пластической зоны $r \sim 3,56a$. Полагая радиус ячейки равным радиусу пластической зоны, найдем $b = 2d$.

Если к внешней границе ячейки приложить давление p , то пора будет затекать в течение некоторого времени τ . Пренебрегая сжимаемостью материала, запишем уравнения, описывающие сферически-симметричное затекание поры [13]:

$$\begin{aligned} \rho_s \left(\frac{\partial v_r}{\partial t} + v_r \frac{\partial v_r}{\partial r} \right) &= \frac{\partial \sigma_r}{\partial r} + 2 \frac{\sigma_r - \sigma_\theta}{r}, & \frac{\partial r^2 v_r}{\partial r} &= 0, \\ \sigma_r - \sigma_\theta &= 2\eta_0 \left(\frac{\partial v_r}{\partial r} - \frac{v_r}{r} \right) & \text{при } a < r < r_p, & \\ \sigma_r - \sigma_\theta &= Y + 2\eta \left(\frac{\partial v_r}{\partial r} - \frac{v_r}{r} \right) & \text{при } r_p < r < b, & \end{aligned} \quad (1)$$

где v_r — скорость движения материала по радиусу; σ_r, σ_θ — компоненты тензора напряжений в сферической системе координат (рис. 1); η, Y — вязкость и предел текучести вязкопластического материала; η_0 — вязкость жидкости.

Интегрируя уравнения (1) по r с граничными условиями

$$\sigma_r(a) = 0, \quad \sigma_r(b) = -p, \quad \sigma_r(r_p - 0) = \sigma_r(r_p + 0), \quad v_r(r_p - 0) = v_r(r_p + 0),$$

получим

$$\begin{aligned} p &= \frac{2}{3} Y \ln \frac{\alpha}{\delta + \alpha - 1} + \frac{\rho_s a_0^2}{3(\alpha_0 - 1)^{2/3}} \left(\ddot{\alpha} \left(\frac{1}{\alpha^{1/3}} - \frac{1}{(\alpha - 1)^{1/3}} \right) + \frac{\dot{\alpha}^2}{6} \left(\frac{1}{(\alpha - 1)^{4/3}} - \frac{1}{\alpha^{4/3}} \right) \right) - \\ &\quad - \frac{4}{3} \dot{\alpha} \left(\frac{\eta - \eta_0}{\delta + \alpha - 1} - \frac{\eta}{\alpha} + \frac{\eta_0}{\alpha - 1} \right), \quad (2) \\ v_r &= \frac{a_0^3 \dot{\alpha}}{3(\alpha_0 - 1)r^2}, \quad \alpha = \frac{b^3}{b^3 - a^3} = \frac{b^3}{b_0^3 - a_0^3}, \quad \delta = \frac{r_p^3 - a^3}{b^3 - a^3}, \end{aligned}$$

где $\alpha_0 = \alpha(0)$; $a_0 = a(0) = d/2$; $b_0 = b(0) = 2d$; точками обозначены производные по времени; δ — доля жидкого материала в ячейке. Полагая в первом уравнении (2) $\dot{\alpha} = \ddot{\alpha} = 0$, $\alpha = 1$, найдем минимальное давление p_* , при котором произойдет полное затекание поры:

$$p_* = (2/3)Y \ln(1/\delta).$$

Отсюда следует, что если разупрочнения материала не происходит, то $\delta \rightarrow 0$, $p_* \rightarrow \infty$ и пора вообще не будет затекать. При этом за частицей будет возникать полый канал и сверхглубокое проникание станет невозможным. В нашем случае для стали $\delta \approx 0,11$, $Y = 1,2$ ГПа получим минимальное давление $p_* \approx 1,4$ ГПа. Из уравнений (2) следует, что время полного затекания поры τ будет функцией

$$\tau = \psi(p, \rho_s, a_0, \eta, Y, \alpha_0, \delta). \quad (3)$$

(Поскольку $\eta \gg \eta_0$, то при записи (3) не учитывается зависимость от η_0 .) Используя Пи-теорему, формулу (3) перепишем в безразмерном виде

$$\tau = a_0 \sqrt{\frac{2\rho_s}{p}} \varphi\left(\alpha_0, \delta, \frac{p}{Y}, \frac{\sqrt{\rho_s p a_0}}{\eta}\right). \quad (4)$$

Функция φ (4) находилась путем численного интегрирования уравнений (2).

Выше отмечено, что при сверхглубоком проникании в окрестности частицы должно происходить разупрочнение материала, а пора, возникающая за частицей, должна успевать затекать за время $\Delta t = d/v_p$. Следовательно, условие сверхглубокого проникания можно записать в виде неравенств

$$\tau \leq d/v_p \leq \Delta^2/\varepsilon. \quad (5)$$

Используя формулу (4), первое неравенство в (5) перепишем следующим образом:

$$p \geq \frac{\rho_s v_p^2}{2} \varphi^2. \quad (6)$$

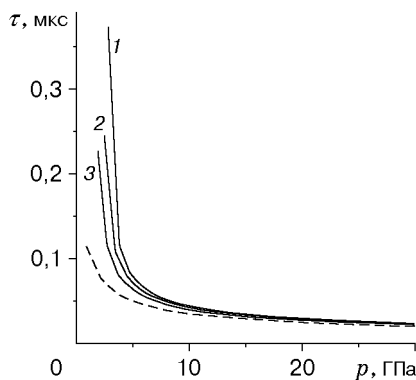


Рис. 2

Из сравнения формулы (6) с критерием, полученным в [2–4], следует, что в этих работах величина φ является константой $\varphi = \operatorname{tg} \alpha_*$, в то время как в предлагаемой модели φ зависит от вязкопрочностных свойств материала и параметров ячейки (см. формулу (4)). На рис. 2 показана зависимость времени затекания τ от p , полученная путем численного интегрирования уравнения (2) для следующих значений параметров: $\rho_s = 7,85 \cdot 10^3$ кг/м³, $Y = 1,2$ ГПа, $\eta = 10^2$ Па · с, $\eta_0 = 2 \cdot 10^{-3}$ Па · с, $a_0 = 50$ мкм, $r_p = 100$ мкм. Штриховая кривая описывает зависимость τ от p для жидкой ячейки $Y = 0$, $\eta = \eta_0$ при $b_0 = 200$ мкм. Сплошные кривые 1–3 описывают зависимости $\tau(p)$ с учетом прочности $Y = 1,2$ ГПа при начальных радиусах ячейки $b_0 = 300, 250, 200$ мкм. Видно, что радиус ячейки b_0 слабо влияет на время затекания.

Учет прочности материала $Y \neq 0$ приводит к значительному увеличению τ при давлениях $p < 5$ ГПа.

Силу, действующую на частицу со стороны преграды, определим по формуле Златина [14]

$$\mathbf{F} = -\left(H + p + \frac{\rho_s}{2}(\mathbf{v}_p - \mathbf{v}_1)^2\right) \frac{\pi d^2}{4} \frac{\mathbf{v}_p - \mathbf{v}_1}{|\mathbf{v}_p - \mathbf{v}_1|}, \quad (7)$$

где \mathbf{v}_1 — скорость материала преграды. Первое слагаемое в скобках H , называемое динамической твердостью, обусловлено работой сил прочности при деформации материала. Если частица внедрилась в материал на глубину l , то работа этих сил будет равна $A = \int \rho_s \Delta E dV$. Объем интегрирования представляет собой цилиндрический канал за частицей радиусом d и длиной l , поэтому $A \approx \rho_s \Delta E \pi d^2 l$. Приращение удельной энергии ΔE оценим по формуле

$$\Delta E = \int \frac{1}{\rho_s} \sigma_{ij} \dot{\epsilon}_{ij} dt \approx \frac{1}{\rho_s} S_{ij} \dot{\epsilon}_{ij} \Delta t \approx \frac{1}{\rho_s} Y \frac{v_p}{d} \frac{d}{v_p} \approx \frac{Y}{\rho_s},$$

где $S_{ij} \sim Y$; $\dot{\epsilon}_{ij} \sim v_p/d$; $\Delta t \approx d/v_p$; $\sigma_{ij} = -p\delta_{ij} + S_{ij}$ — тензор напряжений.

Подставляя ΔE в формулу для работы, найдем $A \approx \pi d^2 l Y$. В то же время работа определяется по формуле $A = (\pi d^2/4) l H$. Приравнявая эти два выражения, получим величину $H \approx 4Y$, которая в два раза превосходит экспериментально определенную динамическую твердость стали $H = 2$ ГПа [14]. Из данного рассуждения следует, что если в окрестности частицы при $r < d$ происходит разупрочнение материала, то $H \approx 0$.

В формуле (7) второе и третье слагаемые, стоящие в скобках, обусловлены образованием полости за частицей. В этом случае давление на переднюю полусферу частицы $p + \rho_s (\mathbf{v}_p - \mathbf{v}_1)^2/2$, умноженное на площадь миделя $\pi d^2/4$, определяет силу, действующую на частицу. Если реализуется режим безотрывного обтекания, то полость за частицей отсутствует и эта сила равна нулю. В случае сверхглубокого проникания реализуются оба условия (5) и правая часть в (7) равна нулю. Однако необходимо учесть, что вне области разупрочнения $d < r < 2d$ происходят пластические деформации материала, скорость которых $\dot{\epsilon} \sim (v_p/d)(a/r)^4 \sim 10^{-2} v_p/d$. Это приводит к уменьшению на два порядка работы сил прочности и соответственно величины динамической твердости $H' \approx 10^{-2} H$. Учет прочностных свойств материала преграды приведет к еще меньшим значениям $\dot{\epsilon}$, поэтому для динамической твердости в этом случае будет справедливо неравенство $H' \leq 10^{-2} H$.

В разупрочненной области $d/2 < r < d$ предел текучести $Y = 0$, а вязкость совпадает с вязкостью расплава $\eta_0 = 2 \cdot 10^{-3}$ Па · с. Соответственно число Рейнольдса для параметров обтекания частицы $v_p \approx 10^3$ м/с, $d \approx 100$ мкм, $\rho_s = 8 \cdot 10^3$ кг/м³ равно $Re = \rho_s v_p d / \eta_0 \approx 4 \cdot 10^5$. Следовательно, силы вязкости будут проявляться только в тонком пограничном слое толщиной $\delta \approx 5,6 \sqrt{\nu_0 d / v_p} \approx 5,6 d / \sqrt{Re} \approx 1$ мкм, где $\nu_0 = \eta_0 / \rho_s$ [10]. Повидимому, наблюдавшаяся в эксперименте [8] первая область интенсивной деформации в канале диаметром порядка $0,3d$ представляет собой пограничный слой, сходящийся с частицы. Однако при $d \approx 100$ мкм диаметр этой области составляет 30 мкм, что на порядок больше приведенной выше оценки δ . Данное различие может быть связано с тем, что в пограничном слое после схода с частицы скорость деформации и температура уменьшаются. Это приводит к резкому увеличению вязкости и толщины пограничного слоя в канале за частицей. Так как $\delta \ll d$, то для определения силы вязкого сопротивления частицы можно воспользоваться автомодельным решением Блазиуса. Умножая тензор вязких напряжений в пластине [10] на площадь поверхности частицы, получим

$$F'_\eta = \frac{1}{2} \rho_s v_p^2 \frac{1,3}{\sqrt{Re}} \pi d^2.$$

В результате полная сила, действующая на частицу в режиме сверхглубокого проникания, будет равна

$$\mathbf{F}_p = - \left(H' + 2,6 \frac{\rho_s (\mathbf{v}_p - \mathbf{v}_1)^2}{\sqrt{Re}} \right) \frac{\pi d^2}{4} \frac{\mathbf{v}_p - \mathbf{v}_1}{|\mathbf{v}_p - \mathbf{v}_1|}, \quad (8)$$

где $Re = |\mathbf{v}_p - \mathbf{v}_1| d / \nu_0$.

Как отмечалось выше, только очень малая доля падающих частиц (порядка 0,1 %) проникает на большую глубину. По-видимому, это связано с тем, что начиная с некоторого момента времени t происходит экранирование падающих частиц теми частицами, которые накопились в поверхностном слое преграды. Если объемная концентрация частиц m_2 в поверхностном слое меньше некоторой критической m_2^* , то падающие на поверхность частицы могут проникать в металл. (Объемной концентрацией частиц m_2 называется доля единичного объема, занятая частицами.) Если $m_2 > m_2^*$, то падающая частица сталкивается с частицами в поверхностном слое и застревает в нем. Отдельные импульсы, создаваемые падающими частицами, распределяются между всеми частицами слоя, в результате чего плотный слой частиц действует на преграду со средним давлением [2] $p_L = 0,3\rho_L v_L c$, где c — скорость звука в преграде; ρ_L , v_L — средняя плотность и скорость частиц в облаке. Отсюда следует, что проникание частиц в преграду будет происходить при условии

$$\langle m_2 \rangle < m_2^*, \quad (9)$$

где $\langle m_2 \rangle = \int_0^{l_p} m_2 dx / l_p$ — средняя объемная концентрация частиц в поверхностном слое толщиной l_p ; l_p — длина релаксации скорости частицы при внедрении в материал. Выведем формулу для l_p . Подставляя силу \mathbf{F}_p из формулы (7) в уравнение движения для частицы и пренебрегая давлением и динамической твердостью, получим уравнение движения $dv_p/dt = -v_p^2/l_p$, в которое входит длина релаксации скорости $l_p = 4\rho_p d/\rho_s$. Величина m_2^* выбиралась из условия согласования расчетов и эксперимента по числу проникших частиц $m_2^* = 0,25$.

Перейдем к формулировке уравнений, описывающих процесс сверхглубокого проникания частиц. Как отмечалось выше, прочность частиц всегда больше прочности материала преграды, так что частицы можно считать несжимаемыми шариками диаметром d . Объемная концентрация проникающих в преграду частиц мала ($m_2 \ll 1$), поэтому столкновениями между частицами можно пренебречь. Для описания движения частиц и материала преграды воспользуемся континуально-дискретной моделью, развитой ранее для смеси газ — частицы [13]. В этой модели частицы описываются бесстолкновительным кинетическим уравнением

$$\frac{\partial f}{\partial t} + \mathbf{v}_p \frac{\partial f}{\partial \mathbf{x}} + \frac{\partial}{\partial \mathbf{v}_p} \left(\frac{\mathbf{F}_p}{m_p} f \right) = 0, \quad m_2 = \frac{\pi d^3}{6} \int f dV_v, \quad \langle \mathbf{v}_p \rangle = \frac{\pi d^3}{6m_2} \int \mathbf{v}_p f dV_v, \quad (10)$$

где $f = f(t, \mathbf{v}_p, \mathbf{x})$ — одночастичная функция распределения; $dV_v = dv_{px} dv_{py} dv_{pz}$ — бесконечно малый объем в пространстве скоростей частиц; $m_p = \pi d^3 \rho_p / 6$ — масса частицы; $\langle \mathbf{v}_p \rangle$ — средняя скорость частиц. Сила \mathbf{F}_p определяется по формулам (7), (8) и зависит от режима движения частицы.

Систему уравнений (10) нужно дополнить уравнениями для материала преграды. Используя тензорные обозначения, запишем их в системе координат x^i с базисными векторами \mathbf{e}_i :

$$\begin{aligned} \frac{\partial \rho_s}{\partial t} + \nabla_i \rho_s v_{1i} &= 0, & \rho_s \frac{dv_{1i}}{dt} &= \nabla_j \sigma_{ij} - F_i, & \rho_s \frac{dE}{dt} &= \sigma_{ij} \dot{\epsilon}_{ij} + \dot{Q}, \\ \frac{d}{dt} &= \frac{\partial}{\partial t} + v_{1i} \nabla_i, & \sigma_{ij} &= -p\delta_{ij} + S_{ij}, & \dot{\epsilon}_{ij} &= \frac{1}{2} (\nabla_i v_{1j} + \nabla_j v_{1i}), \\ \dot{\epsilon}_{ij} &= \dot{\epsilon}_{ij} - \frac{1}{3} \dot{\epsilon}_{kk} \delta_{ij}, & \hat{S}_{ij} &= \begin{cases} 2\mu \dot{\epsilon}_{ij}, & (3/2) S_{ij} S_{ij} < Y^2, \\ -\dot{\lambda} S_{ij} + 2\mu \dot{\epsilon}_{ij}, & (3/2) S_{ij} S_{ij} = Y^2, \end{cases} \end{aligned} \quad (11)$$

$$\begin{aligned}\hat{S}_{ij} &= \frac{dS_{ij}}{dt} - \omega_{ik}S_{jk} - \omega_{jk}S_{ik}, \quad \omega_{ij} = \frac{1}{2}(\nabla_i v_{1j} - \nabla_j v_{1i}), \quad p = p_x + p_T, \\ p_x &= K\left(\frac{\rho_s}{\rho_s^0} - 1\right), \quad E = E_x + E_T, \quad E_x = \frac{K}{2\rho_s^0}\left(\frac{1 - \rho_s}{\rho_s^0}\right)^2 + \frac{\mu}{\rho_s}e_{ij}^e e_{ij}^e, \\ e_{ij}^e &= \frac{S_{ij}}{2\mu}, \quad p_T = \Gamma\rho_s E_T, \quad i, j = 1, 2, 3,\end{aligned}$$

где \dot{e}_{ij} , S_{ij} , $\dot{\varepsilon}_{ij}$, σ_{ij} , ω_{ij} — тензоры диватора скоростей деформаций и напряжений, скорости деформации, напряжения и поворота (по повторяющимся индексам проводится суммирование); E , E_x , E_T — удельная внутренняя энергия и ее холодная и тепловая составляющие; p , p_x , p_T — давление, холодная и тепловая составляющие давления; K , μ — модули объемного сжатия и сдвига. В упругой области материал описывается законом Гука, а в упругопластической — соотношениями Прандтля — Рейса. Сила \mathbf{F} взаимодействия частиц с материалом и скорость диссипации энергии \dot{Q} находятся по формулам

$$\mathbf{F} = \int \mathbf{F}_p f dV_v, \quad \dot{Q} = \int \mathbf{F}_p(\mathbf{v}_1 - \mathbf{v}_p) f dV_v, \quad (12)$$

где $\mathbf{F} = F_i \mathbf{e}_i$.

На основе данной модели решена задача о сверхглубоком проникании частиц в преграду в одномерном случае. Преграда представляла собой слой материала толщиной h^0 , на который слева набегал поток частиц. В одномерном случае система уравнений (5), (7), (10)–(12) значительно упрощается и имеет вид

$$\begin{aligned}\frac{\partial f}{\partial t} + v_p \frac{\partial f}{\partial x} + \frac{\partial}{\partial v_p} \left(\frac{F_p}{m_p} f \right) &= 0, \quad m_p = \frac{\pi d^3}{6} \rho_p, \quad m_2 = \frac{\pi d^3}{6} \int_{-\infty}^{\infty} f dv_p, \\ \frac{\partial \rho_s}{\partial t} + \frac{\partial}{\partial x} \rho_s v_1 &= 0, \quad \rho_s \frac{dv_1}{dt} = \frac{\partial \sigma_1}{\partial x} - F, \quad \rho_s \frac{dE}{dt} = \sigma_1 \dot{\varepsilon}_1 + \dot{Q}, \quad \frac{d}{dt} = \frac{\partial}{\partial t} + v_1 \frac{\partial}{\partial x}, \\ \sigma_1 &= S_1 - p, \quad S_2 = S_3, \quad S_1 + S_2 + S_3 = 0, \\ \dot{S}'_i = 2\mu \dot{\varepsilon}_i, \quad S_i &= \begin{cases} S'_i, & \frac{3}{2} \sum_{i=1}^3 (S'_i)^2 < Y^2, \\ \sqrt{\frac{2}{3}} S'_i Y / \sqrt{\sum_{i=1}^3 (S'_i)^2}, & \frac{3}{2} \sum_{i=1}^3 (S'_i)^2 \geq Y^2, \end{cases} \quad (13)\end{aligned}$$

$$p = p_x + p_T, \quad p_x = K\left(\frac{\rho_s}{\rho_s^0} - 1\right), \quad E = E_x + E_T, \quad E_x = \frac{1}{2\rho_s^0}\left(K\left(1 - \frac{\rho_s}{\rho_s^0}\right)^2 + 3\mu(e_1^e)^2\right),$$

$$\dot{\varepsilon}_1^e = \frac{\dot{S}_1}{2\mu}, \quad p_T = \Gamma\rho_s E_T, \quad \dot{\varepsilon}_1 = \frac{\partial v_1}{\partial x}, \quad \dot{\varepsilon}_2 = \dot{\varepsilon}_3 = 0,$$

$$F = \int_{-\infty}^{\infty} F_p f dv_p, \quad \dot{Q} = \int_{-\infty}^{\infty} F_p(v_1 - v_p) f dv_p,$$

$$F_p = \begin{cases} -\left(H + p + \frac{\rho_s}{2}(v_p - v_1)^2\right) \frac{\pi d^2}{4} \frac{v_p - v_1}{|v_p - v_1|}, \\ -\left(H' + 2,6 \frac{\rho_s(v_p - v_1)^2}{\sqrt{\text{Re}}}\right) \frac{\pi d^2}{4} \frac{v_p - v_1}{|v_p - v_1|}, \quad \frac{\varkappa}{\Delta^2} \leq \frac{|v_p - v_1|}{d} \leq \frac{1}{\tau}. \end{cases}$$

Первое выражение для силы F_p применяется в случае, когда не выполняется условие сверхглубокого проникания $\varkappa/\Delta^2 \leq |v_p - v_1|/d \leq 1/\tau$, а также на стадии заглупления частиц в преграду на диаметр d . Если скорость деформации $\dot{\varepsilon} = |v_p - v_1|/d$ удовлетворяет неравенству $\dot{\varepsilon} > \varkappa/\Delta^2$, то в первом выражении для F_p H нужно заменить на H' .

Система уравнений (13) справедлива в области $x_L(t) < x < x_R(t)$, левая $x_L(t)$ и правая $x_R(t)$ границы которой меняются со временем. До тех пор пока выполняется неравенство (9), частицы проникают в преграду. В этом случае на левой границе $x_L(t)$ задается условие отсутствия напряжения $\sigma_1(x_L(t)) = 0$ и поток частиц

$$j(x_L(t)) = \rho_L v_L.$$

Скорость v_L и средняя плотность частиц ρ_L в набегающем потоке определяются по формулам

$$v_L = v_L^0 \exp(-\alpha_1 t/\tau_0), \quad \rho_L = \rho_L^0 \exp(\alpha_2 t/\tau_0), \quad (14)$$

полученным в [15] путем аппроксимации результатов численных расчетов по метанию порошка энергией взрыва. После нарушения неравенства (9) происходит экранировка падающих частиц, и на границе $x_L(t)$ задается $j(x_L(t)) = 0$, $\sigma_1(x_L(t)) = -0,3\rho_L v_L c$, где ρ_L , v_L определяются по формулам (14). На правой границе задается условие отсутствия напряжений $\sigma_1(x_R(t)) = 0$. Предполагается, что преграда достаточно «толстая», так что частицы не выходят на ее правую границу, поэтому для них условия на правой границе не ставятся. В момент $t = 0$ скорость v_1 , давление p и напряжения σ_i равны нулю, плотность $\rho_s = \rho_s^0$.

Система уравнений (13) решалась численным методом, разработанным ранее авторами для расчета течений смеси газ — частицы и подробно описанным в [16]. Уравнения, описывающие поведение материала преграды, решались в эйлеровых подвижных координатах по схеме «крест» [17]. Бесстолкновительное кинетическое уравнение для частиц решалось в лагранжевых переменных. Облако частиц на входе в материал разбивалось на ячейки таким образом, что частицы, попадающие в данную ячейку, имели одинаковую скорость. В этом случае уравнения движения ячейки $dx/dt = v_p$, $dv_p/dt = F_p/m_p$ совпадали с характеристиками кинетического уравнения. Скорость, давление и плотность материала в ячейках частиц находились интерполяцией. В качестве материала преграды выбиралась сталь с параметрами $\rho_s^0 = 7,85 \cdot 10^3$ кг/м³, $\mu = 80$ ГПа, $K = 160$ ГПа, $Y = 1$ ГПа, $H = 2$ ГПа. Частицы вольфрама имели диаметр $d = 100$ мкм и плотность $\rho_p = 19,8 \cdot 10^3$ кг/м³. Динамическая твердость и вязкость разупроченного материала в расчетах равны $H' = 2 \cdot 10^{-3}$ ГПа, $\eta_0 = 10^{-3}$ Па·с. Параметры, входящие в (14), выбирались аналогично [2, 15]: $v_L^0 = 2$ км/с, $\rho_L^0 = 3 \cdot 10^3$ кг/м³, $\alpha_1 = 1,61$, $\alpha_2 = 0,92$, $\tau_0 = 70$ мкс, где τ_0 — время нагружения преграды потоком частиц. В начальный момент времени $t = 0$ координаты границ преграды $x_L(0) = 0$, $x_R(0) = 0,3$ м.

На рис. 3 показана зависимость скорости трех ячеек частиц (в дальнейшем для краткости будем называть их частицами) от времени t . Частицы падают на левую границу преграды в момент $t_1 = 0$, $t_2 = 0,19$ мкс, $t_3 = 0,38$ мкс. Видно, что в течение времени $\Delta t \approx 0,1$ мкс частицы сильно тормозятся вблизи границы преграды, до тех пор пока они не заглупятся в преграду и не выполнится условие сверхглубокого проникания. На второй стадии реализуется режим сверхглубокого проникания, поэтому сила, действующая на частицы, мала и их скорость медленно уменьшается. На третьей стадии условие сверхглубокого проникания (5) перестает выполняться и частицы вновь резко тормозятся, а их скорость уменьшается до скорости материала. Штриховой линией на рис. 3 показана скорость левой границы преграды.

На рис. 4 приведены распределения давления в преграде $p(x)$ для нескольких моментов времени t от начала проникания частиц в преграду с интервалом $\Delta t = 20$ мкс. Из рис. 3

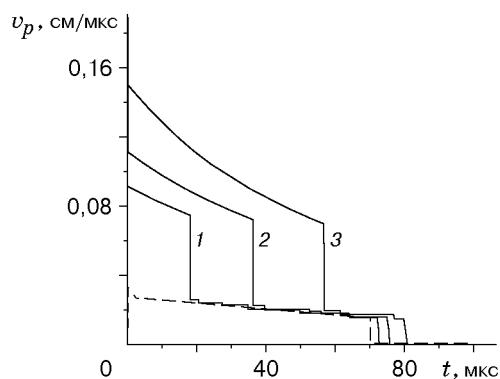


Рис. 3

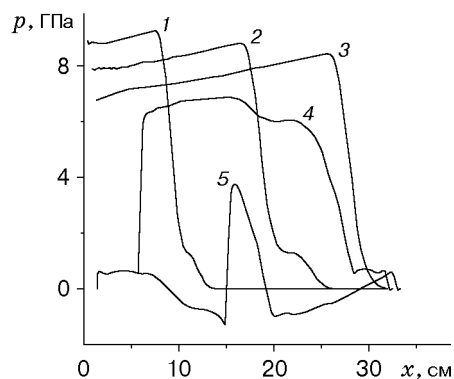


Рис. 4

следует, что прекращение сверхглубокого проникания связано с торможением частиц до скорости $v_p \approx 750$ м/с, когда условие (5) перестает выполняться. Как следует из рис. 4, среднее давление, действующее в материале в момент времени $t \approx 60$ мкс, еще достаточно велико ($p \approx 8$ ГПа). Следовательно, предположение авторов [2–4] о том, что время сверхглубокого проникания частиц равно времени действия в материале высокого давления для толстых преград, является некорректным. Отметим, что чем позже частицы входят в преграду, тем меньше они тормозятся в приграничной области, и затем обгоняют частицы, вошедшие в преграду раньше, проникая на большие расстояния (см. рис. 3). Это связано с тем, что первые частицы начинают проникать в преграду, когда давление в ней равно нулю, поэтому они затрачивают больше энергии на торможение и создание высокого давления, чем частицы, вошедшие в преграду в более поздние моменты времени. Этот эффект обуславливает немонотонное распределение концентрации частиц в зависимости от глубины проникания.

На рис. 5 показана зависимость осредненной объемной концентрации частиц $\langle m_2 \rangle$ от координаты x в момент времени $t = 100$ мкс. (Рассчитанная зависимость $m_2(x)$ наряду с регулярной имела пульсационную составляющую, связанную с начальной численной дискретизацией облака частиц на ячейки. По мере проникания частиц в материал расстояние между ними возрастало и данная дискретность увеличивалась. Пульсации исключались путем усреднения рассчитанного значения $m_2(x)$ по формуле $\langle m_2 \rangle = \frac{1}{\Delta l} \int_{\Delta l} m_2(x) dx$, величина Δl

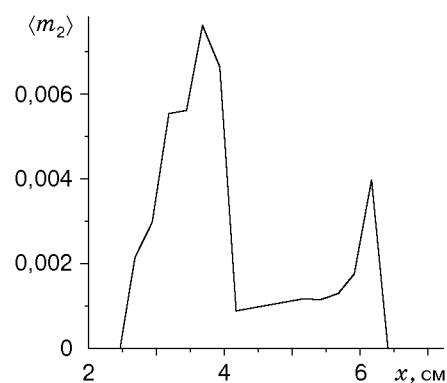


Рис. 5

подбиралась эмпирически и была равна $25d$.) Из рис. 5 следует, что частицы проникают на максимальную глубину порядка $500d$. Зависимость $\langle m_2 \rangle(x)$ является немонотонной и имеет два максимума. Первый максимум находится вблизи левой границы преграды и соответствует частицам, затратившим свою кинетическую энергию на создание давления в преграде. Второй локальный максимум при $x \approx 6$ см соответствует частицам, попавшим в преграду в более поздние моменты времени, когда в ней имеется уже достаточно высокое давление p . В этом случае после заглубления на диаметр d частицы начинали двигаться в режиме сверхглубокого проникания, медленно теряя свою скорость. Отметим, что зависимость $m_2(x)$ для частиц вольфрама, полученная в эксперименте [8], также немонотонна и имеет два максимума: вблизи границы и на большой глубине ($x \approx 4,6$ см).

Таким образом, в данной статье разработана математическая модель, с использованием которой решена задача о сверхглубоком проникании. Результаты расчетов глубины проникания и распределения объемной концентрации частиц в преграде качественно согласуются с данными экспериментов.

ЛИТЕРАТУРА

1. **Козорезов К. И., Максименко В. Н., Ушеренко С. М.** Исследование эффектов взаимодействия дискретных микрочастиц с твердым телом // Избранные вопросы современной механики. М.: Изд-во Моск. ун-та, 1981. Ч. 1. С. 115–119.
2. **Альтшулер Л. В., Андилевко С. К., Романов Г. С., Ушеренко С. М.** Обработка металлической преграды потоком порошковых частиц. Сверхглубокое проникание // Инж.-физ. журн. 1991. Т. 61, № 1. С. 41–45.
3. **Альтшулер Л. В., Андилевко С. К., Романов Г. С., Ушеренко С. М.** О модели сверхглубокого проникания // Письма в ЖТФ. 1989. Т. 15, № 5. С. 55–57.
4. **Андилевко С. К.** Гидродинамическая модель сверхглубокого проникания абсолютно твердых осесимметричных частиц в полубесконечную металлическую преграду // Инж.-физ. журн. 1998. Т. 71, № 3. С. 399–403.
5. **Григорян С. С.** О природе «сверхглубокого» проникания твердых микрочастиц в твердые материалы // Докл. АН СССР. 1987. Т. 292, № 6. С. 1319–1323.
6. **Черный Г. Г.** Механизм аномально низкого сопротивления при движении тел в твердых средах // Там же. С. 1324–1328.
7. **Симоненко В. А., Скоркин Н. А., Башуров В. В.** О проникании отдельных микрочастиц в прочные преграды при столкновении с ними порошкообразных потоков // Физика горения и взрыва. 1991. № 4. С. 46–51.
8. **Андилевко С. К., Дорошкевич Е. А., Карпенко С. С. и др.** Изменение плотности стали при сверхглубоком проникании // Инж.-физ. журн. 1998. Т. 71, № 3. С. 394–398.
9. **Grady D. E., Asay J. R.** Calculation of thermal trapping in shock deformation of aluminium // J. Appl. Phys. 1982. V. 53, N 11. P. 7350–7356.
10. **Валландер С. В.** Лекции по гидроаэромеханике. Л.: Изд-во Ленингр. ун-та, 1978.
11. **Клифтон Р. Дж.** Динамическая пластичность // Успехи прикладной механики. М.: Мир, 1986. С. 49–84.
12. **Панин В. Е., Лихачев В. А., Гриняев Ю. В.** Структурные уровни деформации твердых тел. Новосибирск: Наука. Сиб. отд-ние, 1985.
13. **Ударно-волновые** процессы в двухкомпонентных и двухфазных средах / С. П. Киселев, Г. А. Руев, А. П. Трунев и др. Новосибирск: Наука. Сиб. издат. фирма, 1992.
14. **Баллистические** установки и их применение в экспериментальных исследованиях / Под ред. Н. А. Златина, Г. И. Мишина. М.: Наука, 1974. С. 194–205.
15. **Андилевко С. К., Романов Г. С., Ушеренко С. М.** Взрывной ускоритель порошковых частиц с цилиндрической выемкой, заполненной порошком вольфрама // Инж.-физ. журн. 1991. Т. 61, № 1. С. 46–51.
16. **Киселев В. П., Киселев С. П., Фомин В. М.** О взаимодействии ударной волны с облаком частиц конечных размеров // ПМТФ. 1994. Т. 35, № 2. С. 26–37.
17. **Уилкинс М. Л.** Расчет упругопластических течений // Вычислительные методы в гидродинамике. М.: Мир, 1967. С. 212–263.